

## 전호의 멜라닌 생성 억제 물질

김청택\* · 김원찬 · 진무현 · 김호정 · 강상진 · 강세훈 · 정민환<sup>1</sup> · 임영희<sup>1</sup>  
엘지생활건강 화장품 연구소, <sup>1</sup>엘지화학 분석센타

## Inhibitors of Melanogenesis from the Roots of *Peucedanum praeruptorum*

Cheong-Taek Kim\*, WonChan Kim, Mu Hyun Jin, Ho-Jeong Kim, SangJin Kang,  
Seh-Hoon Kang, Min-Hwan Jung<sup>1</sup>, and Younghhee Lim<sup>1</sup>

Cosmetics R&D Center, LG Household & Health Care, Daejon 305-343, Korea

<sup>1</sup>Analytical R&D Center, LG Chem., Daejon 305-380, Korea

**Abstract** – A chemical investigation of *Peucedanum praeruptorum* has resulted in the isolation of 3 khellactone derivatives, which have inhibitory effects on melanogenesis in B16 mouse melanoma cell lines. The khellactone derivatives were isolated from the crude extract of the roots of *Pecedanum praeruptorum* by a combination of adsorption chromatography and HPLC. The structures of isolated compounds were identified as 3',4'-diangeloyl-cis-khellactone, 3'-angeloyl-4'-senecioyl-cis-khellactone and, 3',4'-disenecioyl-cis-khellactone by <sup>1</sup>H NMR, <sup>13</sup>C NMR and mass spectral studies and by comparisons of spectral data with reported literatures.

**Keywords** – *Peucedanum praeruptorum* Dunn; 3',4'-diangeloyl-cis-khellactone; 3'-angeloyl-4'-senecioyl-cis-khellactone; 3',4'-disenecioyl-cis-khellactone; B16 mouse melanoma cell lines; melanogenesis; melanin

기미, 주근깨 등 피부에 생기는 색소침착은 표피내에서의 melanin색소의 이상적 증가에 기인하며, melanin은 표피기저층에 존재하는 melanocyte라고 불리는 색소세포내의 melanosome에서 생성된다. Melanin의 주된 생성과정은 아미노산의 일종인 tyrosine<sup>o</sup> tyrosinase에 의해 산화되어 DOPA, dopaquinone이 되고 이것이 다시 5,6-dihydroxy indole, indole 5,6-quinone로 자동 산화되고 최종적으로 중합에 의해 melanin polymer를 생성하는 것으로 되어 있다.<sup>1,2)</sup> 상기의 색소침착을 치유하기 위해 tyrosinase의 활성을 억제하여 멜라닌 생성을 억제하는 hydroquinone, resorcinol 등의 폐놀 유도체나, L-ascorbic acid와 그 유도체 및 kojic acid, arbutin, lactic acid, glucosamin, tunicamycin 등이 개발되었으나, 피부자극성이나 안정성에 문제가 있어 극히 제한된 양만 사용되고 있다.<sup>3-5)</sup>

본 실험에서는 피부의 과색소침착에 의한 기미, 주근깨 등의 치료제를 개발하고자 멜라노마 세포 시험법(B16 mouse melanoma assay)<sup>6)</sup>을 이용하여 200여 종의 생약을 대상으로 멜라닌 생성 억제 효능을 검색한 결과, 전호 추출물이 매우

우수한 활성을 나타냄을 알 수 있었다. 전호는 *Peucedanum praeruptorum* Dunn의 뿌리로, 예로부터 기침, 천식 및 후두염의 치료제로 사용되어 왔으며,<sup>7)</sup> 전호의 주요한 성분으로는 praeruptorins로 명명된 pyranocoumarin과 이들의 glucoside derivative<sup>o</sup> 보고되어 있다.<sup>8,9)</sup>

전호를 100% 메탄올로 추출하여 얻은 추출물을 정제수에 혼탁한 다음, 성분이 다른 2개의 용매(ethylacetate and n-butanol)로 순차적으로 분획하여 얻은 용매 분획들에 대해 멜라닌 생성 억제 시험을 한 결과, ethylacetate분획에서 강한 활성을 관찰하였다. 따라서 ethylacetate분획을 각종 칼럼 크로마토그라피를 실시하여 멜라닌 생성 억제 물질들을 분리하였으며, 각종 spectral data를 바탕으로 각각의 구조를 동정하여 이를 보고하고자 한다.

### 재료 및 방법

**실험재료** – 본 실험에서 사용된 전호는 *Peucedanum praeruptorum* Dunn의 뿌리로 중국 연변에서 구입하여 사용하였다. 감정은 중국 연변의학원 약학부 박 호일교수가 했으며, 표본은 LG생활건강 화장품연구소에 보관하였다.

\*교신저자(E-mail) : ctkim@lgcare.co.kr

**시약 및 기기** – 칼럼크로마토그라피는 silica gel 60(230-400 mesh, Merck)과 Sephadex LH-20(20-100 μ, Pharmacia)을, 박층크로마토그라피용 precoated plate는 silica gel 60F<sub>254</sub>(Merck Art.5715)를 사용하였다. HPLC column은 YMC pack-sil column을, mass spectra는 AutoSpec mass spectrometer(Micromass, Manchester, UK)를, NMR spectra는 Bruker DRX-400 를 사용하여 측정하였다. 세포배양을 위해 DMEM(Dulbecco's modified Eagle's medium), FBS(fetal bovine serum), antibiotics와 Trypsin(2.5%)을 Gibco에서 구입하였으며, 그외 각종 시약은 특급 시약을 사용하였다.

**추출 및 분리** – 전호 2 Kg을 메탄올로 추출하여 수득한 추출물(180 g)을 정제수 5 L에 혼탁한 다음 ethylacetate 그리고 n-butanol로 순차적으로 분획하여 얻은 각각의 분획들에 대해 멜라닌 생성 저해 효과를 실험한 결과 ethylacetate 분획(95 g)이 멜라닌 생성 저해 효과가 있음을 확인하였다 ( $IC_{50} < 10 \text{ ug/ml}$ ). 따라서, ethylacetate 분획을 실리카겔 칼럼크로마토그라피(1000 g, 70-230 mesh, Merck, n-hexane: EtOAc=10:1--1:3)하여 5개의 분획(Fr.1-5, each of 2,000 ml)으로 나누어 멜라닌 생성 억제 효과를 검색한 결과, Fr.4(30 g)에서 강한 활성을 확인하였다( $IC_{50}=5 \text{ ug/ml}$ ). Fr.4를 실리카겔 칼럼크로마토그라피(300 g, 230-400 mesh, Merck n-hexane:EtOAc=5/1)를 실시하여 3개의 성분을 분리하였으며, 이를 EtOAc/n-hexane으로 재결정하여 compound I(200 mg), compound II(250 mg), compound III(400 mg)를 순수하게 얻었으며, spectral(<sup>1</sup>H and <sup>13</sup>C NMR, MS) data(Table I, II)를 바탕으로 구조를 확인하였다.

**Table I.** <sup>1</sup>H NMR spectral data of 3 pyranocoumarins (ppm from TMS in CDCl<sub>3</sub>, coupling constants (J, Hz))

H position	Compound I	Compound II	Compound III
H-3	6.21 (9.5)	6.21 (9.5)	6.20 (9.5)
H-4	7.59 (9.5)	7.58 (9.5)	7.58 (9.5)
H-5	7.35 (8.6)	7.35 (8.6)	7.34 (8.6)
H-6	6.81 (8.6)	6.80 (8.6)	6.80 (8.6)
H-3'	5.45 (4.9)	5.40 (4.9)	5.36 (4.9)
H-4'	6.70 (4.9)	6.65 (4.9)	6.62 (4.9)
Me-2'	1.49 1.46	1.49 1.46	1.46 1.42
H-2" senecioyl		5.62	5.67
H-3" angeloyl	6.12 6.02	6.10	
Me-2"(Se)	1.86 1.83	1.86	
Me-3"(An)	1.98/1.96	1.96	2.19/2.15, 1.89/1.88
Me-3"(Se)		2.19/1.87	

**Table II.** <sup>13</sup>C NMR spectral data of 3 pyranocoumarins (ppm from TMS in CDCl<sub>3</sub>)

C position	Compound I	Compound II	Compound III
C-2	159.7	159.8	159.9
C-3	113.3	113.3	113.2
C-4	143.2	143.1	143.2
C-5	129.2	129.1	129.0
C-6	114.4	114.3	114.3
C-7	156.7	156.7	156.8
C-8	107.6	107.7	107.6
C-9	154.1	154.0	154.1
C-10	112.5	112.5	112.5
C-2'	77.5	77.5	77.7
C-3'	70.2	70.3	69.4
C-4'	60.2	59.5	59.8
Me-2'	25.4	25.5	25.1
	22.5	22.5	22.7
C-1"(An)	166.5/166.3	166.3	
C-1"(Se)	165.0	165.2/165.1	
C-2"(An)	127.4/127.0	127.2	
C-2"(Se)	115.1	115.3(*2)	
C-3"(An)	139.8/138.4	139.4	
C-3"(Se)	157.9	158.2/157.5	
Me-2"	20.4	20.4 <sup>a</sup>	
Angeloyl	20.3		
Me-3"(An)	15.8/15.6	15.7	
Me-3"(Se)	27.4/20.3 <sup>a</sup>	27.5/20.4, 27.4/20.3	

<sup>a</sup> interchangeable

**Compound I** – White powders from n-hexane-EtOAc; EI-MS *m/z* 426.47 ( $M^+$ ) calculated for C<sub>24</sub>H<sub>26</sub>O<sub>7</sub>; <sup>1</sup>H-NMR data (Table I); <sup>13</sup>C-NMR data (Table II).

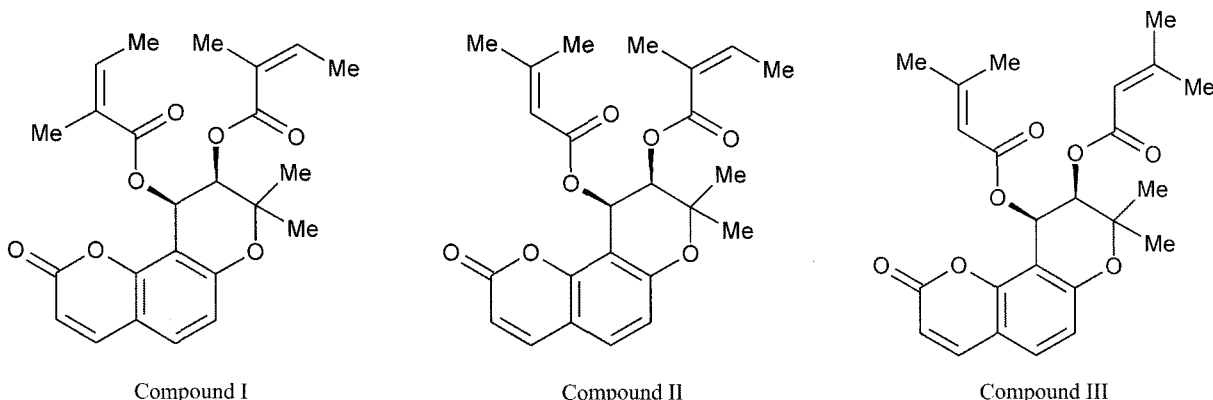
**Compound II** – White powders from n-hexane-EtOAc; EI-MS *m/z* 426.47 ( $M^+$ ) calculated for C<sub>24</sub>H<sub>26</sub>O<sub>7</sub>; <sup>1</sup>H-NMR data (Table I); <sup>13</sup>C-NMR data (Table II).

**Compound III** – White powders from n-hexane-EtOAc; EI-MS *m/z* 426.47 ( $M^+$ ) calculated for C<sub>24</sub>H<sub>26</sub>O<sub>7</sub>; <sup>1</sup>H-NMR data (Table I); <sup>13</sup>C-NMR data (Table II).

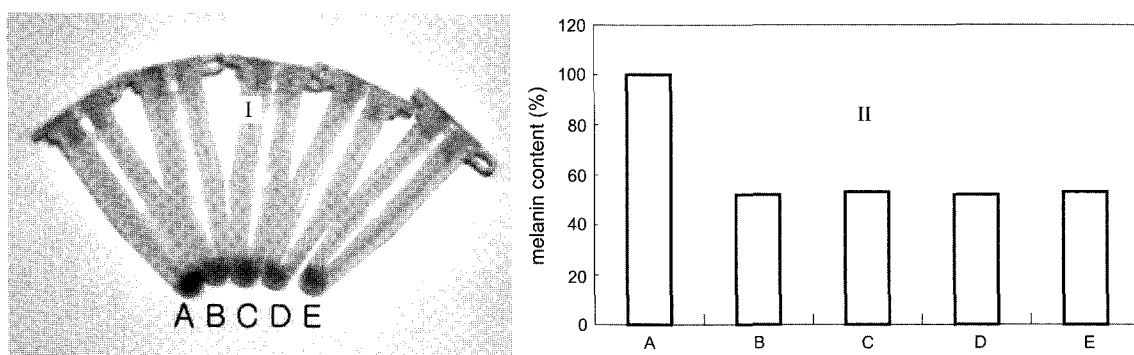
**세포배양** – B16 mouse melanoma을 10% FBS, 1% antibiotics를 첨가한 Dulbecco's modified Eagle's medium에 서 37°C, 5% CO<sub>2</sub> 조건에서 배양하였다.<sup>10)</sup>

**시험물질조제** – 0.3% DMSO를 음성대조군으로, 1 mmol (273 μg/ml) arbutin을 양성대조군으로 사용하였으며, compound I, compound II, compound III의 농도는 모두 0.01 mmol로 조제하였다.

**멜라닌 생성 억제 효능 평가**(B16 mouse melanoma



**Fig. 1.** Structures of compound **I**, **II** and **III** from *Peucedanum praeruptorum*.



**Fig. 2.** I. B16 melanoma cell pellets treated for 3 days with 0.3% DMSO (A:control), 1mmol Arbutin (B:positive control), 0.01 mmol compound **I** (C), **II** (D) and **III** (E). II. Melanin contents in  $10^6$  cells in samples in **I** ( $n=3$ ).

assay) – 60 mm petridish에 dish당  $3 \times 10^4$ 개의 세포를 깔아주고 4시간 경과 후, 각 시험물질을 처리한다. 시료처리 3일 후 0.25% Trypsin-EDTA용액을 처리하여 세포를 수화한 다음, 이를 원심 분리하여 cell pellet을 얻었으며, cell pellet의 색깔을 육안으로 판정하였다. 또한, 각 시료들의 멜라닌 생성 저해효과를 정량화하기 위해 아래와 같은 실험을 수행하였다. 상기에서 얻은 cell pellet들을 각각 phosphate buffered saline용액에 혼탁하여 세포수를 coulter counter (ZM, Coulter Co.)로 측정하여  $1 \times 10^6$  세포수당 1 N NaOH 용액 1 ml을 넣고 세포를 녹인 다음, 490 nm에서 흡광도 ( $A_{490}/10^6$  cells)를 측정하여, 각각의 cell pellet에 존재하는 멜라닌 양을 합성멜라닌을 사용하여 미리 작성한 표준직선으로부터 계산하였으며, 시험물질을 처리하지 않은 cell pellet의 멜라닌 양과 비교하여 각 시험물질이 멜라닌 생성에 미치는 영향을 알아보았다.

결과 및 고찰

### Compound I, II, III의 구조분석 – Compound I, II, III

는 모두 흰색의 분말로, EI-mass spectrum에서 분자이온 피크가 세 물질 모두  $m/z$  426.47이었으며, molecular composition 분석 결과 탄소, 수소 및 산소의 비율은 각각 67.59%, 6.15% 및 26.26%였다. 이로부터 compound I, II, III의 분자식이  $C_{24}H_{26}O_7$ 임을 확인하였다. 또한, 각 물질의 구조는 NMR data의 검토에 의하여 결정되었다(Table I & II, Fig. 1).

NMR spectra(Table I & II)에서 H-3과 H-4 peak은 AB quartets( $J_{AB}=9.5$  Hz)로 나타났다. 이 중, H-4는  $\delta$  7.59와 7.58 사이에서 doublet, H-3는  $\delta$  6.22와 6.20 사이에서 doublet의 peak를 보였다. H-5 peak은  $\delta$  7.36과 7.34 사이에서, H-6 peak은  $\delta$  6.82와 6.80 사이에 나타났다. 위와 같이 coumarin 과 benzene proton에 해당되는 peak value는 khellactone derivative와 C-7과 C-8에 각각 alkyloxy chain과 alkyl chain<sup>o</sup> 결합된 simple coumarin의 peak value에 적합한 것이다.<sup>11)</sup> 각 화합물의 C-3과 C-4의 배율은  $J_{3'4'}=4.9$  Hz로부터 *cis* configuration임을 확인하였다.<sup>12)</sup> Ester 결합 위치는 HMBC를 이용하여, oxymethine proton(H-3' and H-4')과 ester 결합의 carbonyl carbon 사이의 3J (C,H) couplings value로 확인하였다.

Khellactone 모핵에 결합된 angeloyl기와 senecioyl기[는 기존 문헌의 NMR spectra value와 비교하여 확인하였다.<sup>11-13)</sup>

**멜라닌 생성 억제 효과 평가(B16 mouse melanoma assay)** – 각각의 시료를 처리하여 얻은 cell pellets의 색깔을 육안으로 판정한 결과, compound I, II, III<sup>o]</sup> 0.01 mmol의 농도로 처리하여 얻은 각각의 cell pellet<sup>o]</sup> positive control로 사용된 1 mmol arbutin의 농도로 처리하여 얻은 cell pellet과 비슷한 색깔을 보였다. 즉, compound I, II, III는 arbutin보다 훨씬 낮은 농도에서도 arbutin과 비슷한 정도로 멜라닌 생성 저해 효과를 보임을 알 수 있었다(Fig. 2-I). 또한, 육안 판정의 결과를 보다 명확히 하고자 각각의 시료를 처리하여 얻은 cell pellets에서  $10^6$  cells을 취하여 각각의 멜라닌양을 측정한 결과, 1 mmol arbutin<sup>o</sup> 48%의 멜라닌생성을 감소시켰으며, compound I, II, III는 모두 0.01 mmol의 농도에서 각각 47%, 48%, 47%의 멜라닌 생성을 억제하여, 육안 판정의 결과와 유의한 결과를 확인하였다(Fig. 2-II).

## 결 론

기미, 주근깨 등의 색소침착의 치료제를 개발하고자 한방에서 사용되는 200종의 약재들을 대상으로 B16 melanoma assay를 한 결과, 전호 추출물이 멜라닌 생성 억제 효과가 우수함을 알 수 있었으며, 이로부터 3종의 khellactone 유도체(3',4'-diangeloyl-cis-khellactone, 3'-angeloyl-4'-senecioyl-cis-khellactone, 3',4'-disenecioyl-cis-khellactone)를 분리하였다. 이들 3종의 물질은 B16 melanoma assay를 한 결과, 0.01 mmol의 농도에서 1 mmol arbutin과 유사한 정도의 멜라닌 생성 저해효과를 보임을 확인하였다.

## 인용문헌

- Hearing, V. J. and Ekel, T. M. (1976) Mammalian tyrosinase. *Biochem. J.* **157**: 549-557.
- Prota, G. (1992) Melanin and melanogenesis. Academic Press, New York.
- Ando, S., Ando, O., Suemoto, Y. and Mishima, Y. (1993) Tyrosinase gene transcription and its control by melanogenic inhibitor. *J. Invest Dermatol.* **100**: 150-155.
- Imokawa, G. and Mishima, Y. (1982) Loss of melanogenic properties in tyrosinase induced by glycosylation inhibitors within malignant melanoma. *Cancer Res.* **42**: 1994-2002.
- Masuda, M., Tejima, T. and Suzuki, T. (1996) Skin lighteners. *Cosmetics & Toiletries* **111**: 65-77.
- Gordon, P. R., Mansur, C. P. and Gilchrest, B. A. (1989) Regulation of human melanocyte growth, dendricity, and melanization by keratinocyte derived factors. *J. Invest. Dermatol.* **92**: 566-572.
- Tang, W. and Eissenbrand, G. (1992) Chinese Drugs of Plant Origin. Springer, New York.
- Chen, Z.X., Huang, B.S., She, Q.L., Zeng, G.F. (1979) Study on the chemical constituents of the Chinese medicinal plant, *Peucedanum praeruptorum* Dunn. Structures of four new coumarins. *Acta Pharm. Sin.* **14**: 486-496.
- Okujana, T. and Shibata, S. (1981) Studies on coumarins of a Chinese drug Qian-Hu. *Planta Med.* **42**: 89-96.
- Anna, M. M. and Elizabeth, M. (1989) Differential radiosensitivity in cultured B16 melanoma following interrupted melanogenesis induced by glucosamine. *Pigment Cell Res.* **2**: 167-170.
- Steck, W. and Mazurek, M. (1972) Identification of Natural Coumarins by Nmr Spectroscopy. *Lloydia* **35**: 418-439.
- Lemmich, J., Lemmich, E. and Nielsen, B. E. (1966) Constituents of Umbelliferous Plants VIII. Coumarins from the Root of *Seseli libanotis* (L.) Koch. The Structure of Three New Coumarins *Acta Chem. Scand.* **20**: 2497-2507.
- Nielsen, B. E., Larsen, P. K. and Lemmich, J. (1971) Constituents of Umbelliferous Plants XVII. Coumarins from *Seseli gummiferum* Pall. The Structure of Two New Coumarins *Acta Chem. Scand.* **25**: 529-533.

(2002년 10월 28일 접수)